

01;05

О закономерностях распространения плоских волн через границу раздела сред с дислокациями

© Н.В. Чертова

Институт физики прочности и материаловедения СО РАН,
634055 Томск, Россия
e-mail: chertova@ms.tsc.ru

(Поступило в Редакцию 27 декабря 2011 г.)

На основе уравнений полевой теории дефектов рассмотрены закономерности распространения плоских гармонических в однородных средах с дислокациями и при наличии границ раздела. Определены коэффициенты отражения преломления волн смещений и волн поля дефектов, характеризуемого тензором плотности дислокаций и тензором плотности потока дислокаций. Проанализированы зависимости полученных величин от параметров граничащих сред.

В настоящее время внешние поверхности и внутренние границы раздела сред являются важными объектами исследования физической мезомеханики [1], поскольку в многочисленных исследованиях установлена их существенная роль в процессах деформирования разрушения материалов. В настоящей работе рассмотрены особенности прохождения волн через границу раздела сред с дислокациями, динамика которых определяет известный механизм пластической деформации. Исследование проводится на основе уравнений полевой теории дефектов [2], включающей динамические уравнения калибровочной теории дислокаций

$$B \partial_t I_{ij} = -P_j, \quad S e_{ikl} \partial_k \alpha_{lj} = -B \partial_0 I_{ij} - \sigma_{ij} \quad (1)$$

и кинематические тождества континуальной теории

$$\partial_i \alpha_{ij} = 0, \quad e_{ikl} \partial_k I_{lj} = \partial_0 \alpha_{ij}, \quad (2)$$

где α_{ij} , I_{ij} — компоненты тензоров плотности и плотности потока дислокаций, σ_{ij} , P_i — компоненты напряжений и импульса, B , S — константы теории, ∂_0 — производная по времени. Рассматриваются вязкоупругие, упруговязкопластические среды и среда Максвелла, определяемые соотношениями

$$\sigma_{ij} = C_{ijkl} \partial_k U_l + G_{ijkl} \partial_k \partial_0 U_l, \quad (3)$$

$$\sigma_{ij} = C_{ijkl} \partial_k u_l + \eta I_{ij}, \quad (4)$$

$$\partial_0 \sigma_{ij} = C_{ijkl} \partial_0 \varepsilon_{kl} - \sigma_{ij} / \tau, \quad (5)$$

где U_i , u_i — компоненты вектора упругих и полных смещений, C_{ijkl} , G_{ijkl} — тензоры упругих модулей и коэффициентов вязкости упругого тела, ε_{ij} — тензор деформации, η — коэффициент вязкости, τ — время релаксации. Напряжение и импульс удовлетворяют уравнению динамического равновесия $\partial_0 P_i = \partial_n \sigma_{ni}$, которое является условием совместности (1), (2).

Было установлено [3,4], что в рассматриваемых средах распространяются волны смещений, связанные с динамикой компонент тензора плотности потока дислокаций

на плоскости фронта волны,

$$U_n(z, t) = a_n \exp(-i\omega t + ik_n z),$$

$$I_{zn}(z, t) = (i\rho\omega/B) \int U_n(z, t) dz, \quad (6)$$

где z — направление распространения волны, ω — частота волны, i — мнимая единица, k_n — волновое число, $n = z, x, y$. В вязкоупругих средах (3)

$$k_z^2 = (\omega/C_l)^2 / (1 - i \operatorname{tg} \delta_z),$$

$$k_x^2 = k_y^2 = (\omega/C_t)^2 / (1 - i \operatorname{tg} \delta_x), \quad (7)$$

$$\operatorname{tg} \delta_z = \omega(\gamma + 2\nu) / (\lambda + 2\mu),$$

$$\operatorname{tg} \delta_x = \operatorname{tg} \delta_y = \omega\nu/\mu.$$

Здесь $C_l = \sqrt{(\lambda + 2\mu)/\rho}$, $C_t = \sqrt{\mu/\rho}$ — продольная и поперечная скорости упругих волн, $\operatorname{tg} \delta_n$ — тангенсы углов потерь, λ , μ — коэффициенты Ламе, γ , ν — объемная и сдвиговая вязкость упругого тела. В случае упруговязкопластических сред (4) волновые числа задаются выражениями

$$k_z^2 = (\omega/C_l)^2 (1 + i \operatorname{tg} \delta),$$

$$k_x^2 = k_y^2 = (\omega/C_t)^2 (1 + i \operatorname{tg} \delta),$$

$$\operatorname{tg} \delta = \eta/B\omega. \quad (8)$$

Можно показать, что в среде Максвелла (5) решения (6) определяются волновыми векторами (8) при следующем значении тангенса угла потерь:

$$\operatorname{tg} \delta = 1/\tau\omega. \quad (9)$$

Компоненты тензора плотности потока дислокаций на плоскостях, параллельных направлению распространения волны, могут быть записаны в виде

$$I_{mn}(z, t) = q_{mn}(z) \exp(-i\omega t + i\langle k_n \rangle z), \quad m = x, y, \quad (10)$$

где $q_{mn}(z)$ — амплитуды, зависящие от координат при $n = z = m$, и константы при $n \neq m \neq z$,

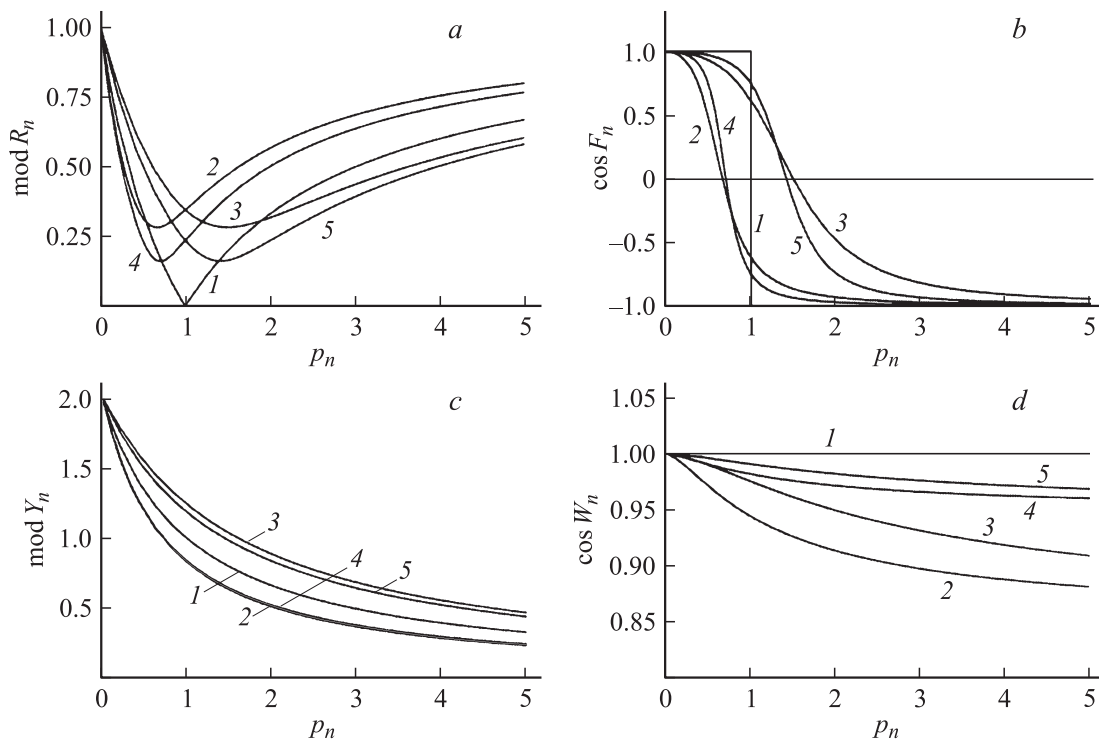


Рис. 1. Зависимости модулей (a, c) и косинусов аргументов (b, d), коэффициентов отражения (a, b) и преломления (c, d) волн смещений от отношений упругих импедансов; в упруго-вязкопластической среде и среде Максвелла $\text{tg } \delta^- = 0, \text{tg } \delta^+ = 0$ (1), 2,0 (2), 0, 2 (3), 2, 0,5 (4), 0,5, 2 (5); в вязкоупругой среде $\text{tg } \delta_n^- = 0, \text{tg } \delta_n^+ = 0$ (1), 0, 2 (2), 2, 0 (3), 0,5, 2 (4), 2, 0,5 (5).

$\langle k_z \rangle = (k_x + k)/2, \langle k_x \rangle = (k_z + k)/2, \langle k_y \rangle = k$ в случае I_{xn} компонент и $\langle k_z \rangle = (k_y + k)/2, \langle k_y \rangle = (k_z + k)/2, \langle k_x \rangle = k$ в случае I_{yn} компонент. Волновой вектор k определяется следующим выражением для вязкоупругой среды и среды Максвелла:

$$k = \omega/C, \quad C = \sqrt{S/B}, \quad (11)$$

в упруго-вязкопластической среде

$$k = (\omega/C) \sqrt{1 + i \text{tg } \delta}. \quad (12)$$

Полученные решения (6), (10) были использованы для анализа закономерностей прохождения волн через границу раздела неупругих сред с дислокациями. Рассмотрим частный случай нормального падения первичной волны на границу раздела. Граничные условия для компонент поля дефектов имеют вид

$$[BI_{zn}] = 0, \quad [\alpha_{zn}] = 0, \quad [I_{mm}] = 0, \quad [S\alpha_{mm}] = 0. \quad (13)$$

Для компонент вектора смещений и напряжений граничные условия в случае идеального контакта записываются обычным образом

$$[U_z] = 0 \quad [U_m] = 0, \quad [\sigma_{zn}] = 0. \quad (14)$$

Подставляя (6) в (14), можно получить выражения коэффициентов отражения и преломления для волн компонент вектора смещений

$$R_n = \frac{\rho^- k_n^+ + \rho^+ k_n^-}{\rho^- k_n^+ + \rho^+ k_n^-}, \quad Y_n = \frac{2\rho^- k_n^+}{\rho^- k_n^+ + \rho^+ k_n^-} \quad (15)$$

и компонент тензора плотности потока дислокаций на фронте волны

$$R_{zn} = R_n,$$

$$Y_{zn} = (B^- k_n^- \rho^+) / (B^+ k_n^+ \rho^-) Y_n. \quad (16)$$

Рассматриваемые величины представляют отношения амплитуд отраженной и преломленной волн к амплитуде падающей волны. Верхние индексы „-“, „+“ показывают принадлежность к средам, где распространяются первичные и вторичные волны. Вторая пара равенств (13) позволяет определить выражения коэффициентов Френеля I_{mm} компонент в виде

$$R_{mm} = \frac{S^- \langle k_n^- \rangle - S^+ \langle k_n^+ \rangle}{S^- \langle k_n^- \rangle + S^+ \langle k_n^+ \rangle},$$

$$Y_{mm} = \frac{2S^- \langle k_n^- \rangle}{S^- \langle k_n^- \rangle + S^+ \langle k_n^+ \rangle}, \quad m = x, y. \quad (17)$$

Следует отметить, что коэффициенты отражения и преломления I_{mz}, I_{mm} компонент, представляющих сумму двух колебаний [3,4], могут быть вычислены лишь приближенно в рамках метода медленно меняющихся амплитуд [5], что предполагает $\partial_z q_{mi}(z) = 0, i = z, m$.

На основе (15)–(17) были рассчитаны действительные и мнимые части рассматриваемых величин, найдены их модули и аргументы. На рис. 1 приведены зависимости модулей и косинусов аргументов коэффициентов отражения и преломления волн смещений от отношений

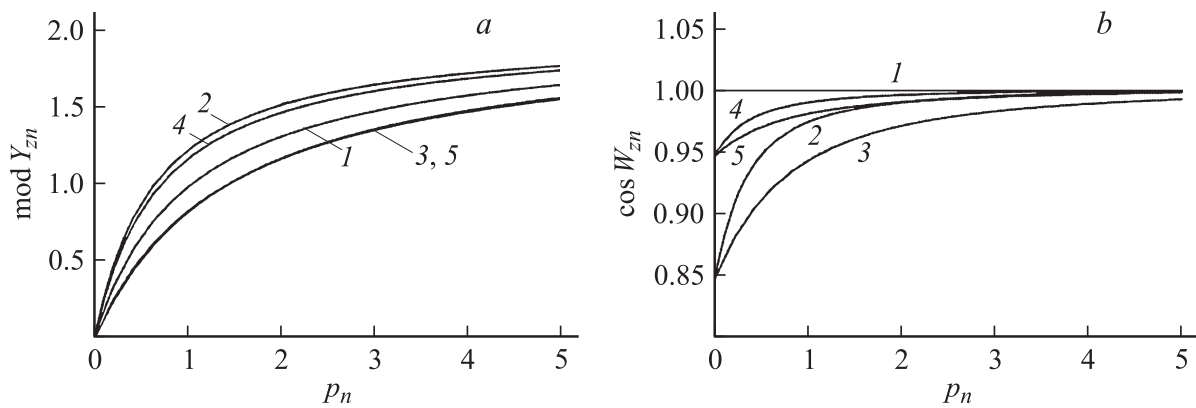


Рис. 2. Зависимости модулей (а) и косинусов аргументов (б) коэффициентов преломления волн компонент тензора плотности потока дислокаций на фронте волны от отношений упругих импедансов при $\text{tg } \delta^- = 0, \text{tg } \delta^+ = 0$ (1), 2, 0 (2), 0, 2 (3), 2, 0,5 (4), 0,5, 2 (5) в случае упруго-вязкопластической среды и среды Максвелла и при $\text{tg } \delta^- = 0, \text{tg } \delta^+ = 0$ (1), 0, 2 (2), 2, 0 (3), 0,5, 2 (4), 2, 0,5 (5) в вязкоупругой среде; $B^-/B^+ = 1$.

упругих импедансов граничащих сред $p_n = \rho^+ C_n^+ / \rho^- C_n^-$ при различных значениях тангенсов углов потерь. Данные зависимости зеркально противоположны относительно тангенсов углов потерь граничащих сред для вязкоупругих и упруго-вязкопластических сред. На рис. 2 представлены аналогичные зависимости коэффициентов преломления I_{zn} компонент (16). В отличие от модулей и косинусов аргументов (15), (16), совпадающих в различных средах при взаимной перестановке тангенсов углов потерь контактирующих сред, синусы аргументов меняют знак.

Коэффициенты Френеля I_{xn} компонент в упруго-вязкопластических средах могут быть записаны в виде

$$R_{xn} = \frac{A^- p_p k_{0n} A^+}{A^- + p_p k_{0n} A^+},$$

$$Y_{xn} = \frac{2A^-}{A^- + p_p k_{0n} A^+}, \quad (18)$$

в срезе Максвелла аналогичные соотношения запишутся таким образом

$$R_{xn} = \frac{1 + c_n^- A^- - p_p (1 + c_n^+ A^+)}{1 + c_n^- A^- + p_p (1 + c_n^+ A^+)},$$

$$Y_{xn} = \frac{2(1 + c_n^- A^-)}{1 + c_n^- A^- + p_p (1 + c_n^+ A^+)}, \quad (19)$$

для вязкоупругой среды были получены следующие выражения:

$$R_{xn} = \frac{1 + c_n^- / B_n^- - p_p (1 + c_n^+ / B_n^+)}{1 + c_n^- / B_n^- + p_p (1 + c_n^+ / B_n^+)},$$

$$Y_{xn} = \frac{2(1 + c_n^- / B_n^-)}{1 + c_n^- / B_n^- + p_p (1 + c_n^+ / B_n^+)}. \quad (20)$$

Здесь $p_p = B^+ C^+ / B^- C^-$ — отношение „пластических импедансов“ граничащих сред, $A^\pm = \sqrt{1 + i \text{tg } \delta^\pm}$, $B_n^\pm =$

$= \sqrt{1 - i \text{tg } \delta^\pm}$, $k_{0n} = (1 + c_n^+) / (1 + c_n^-)$, $c_{z(x)}^\pm = C^\pm / C_{t(l)}^\pm$, $c_y^\pm = 0$. Выражения (18)–(20) при $c_n^- = c_n^+ = 0$ определяют R_{xy} , Y_{xy} коэффициенты, вид которых в координатах $\{|R_{mn}|, \cos F_{mn}, |Y_{mn}|, \cos W_{mn}\} (p_p)$ аналогичен зависимостям 1 на рис. 1 для вязкоупругих сред и среды Максвелла и кривым 1–5 для упруго-вязкопластических сред. При $c_n^-, c_n^+ \neq 0$ на основе (18)–(20) находятся коэффициенты Френеля I_{xz} , I_{xx} компонент, которые также качественно подобны кривым 1–5 на рис. 1. В случае нулевых тангенсов углов потерь зависимости модулей R_{xz} , R_{xx} и косинусов их аргументов сдвигаются влево относительно $p_p = 1$ на величину k_{0n} при $c_n^- < c_n^+$ и вправо при $c_n^- > c_n^+$. Модули Y_{xz} , Y_{xx} больше модуля Y_{xy} при $c_n^- > c_n^+$ и меньше при $c_n^- < c_n^+$, $\cos W_{mn}(p_p) = 1$. Характер зависимостей R_{mn} , Y_{mn} от тангенсов углов потерь противоположен аналогичным зависимостям для волн смещений в каждой из сред (рис. 1). Особенность представленных результатов состоит в том, что модули коэффициентов отражения всех волн в средах с дислокациями имеют минимум, условиями которого являются выражения

$$\text{Re}(R_{n(mn)}) = 0, \quad \partial \text{Im}(R_{n(mn)}) / \partial p_{n(p)} = 0,$$

$$\partial^2 \text{Im}(R_{n(mn)}) / \partial^2 p_{n(p)} > 0.$$

Полученные результаты, необходимые при изучении отражательной и пропускательной способностей границ раздела, особенностей прохождения волн через слой, могут быть использованы при анализе и интерпретации данных сейсмических исследований и методов неразрушающего контроля.

Работа выполнена при частичной финансовой поддержке Российского фонда фундаментальных исследований (код проекта 09-01-00264а).

Список литературы

- [1] Панин В.Е. // Физическая мезомеханика. 1999. Т. 2. № 6. С. 5–23.
- [2] Гриняев Ю.В., Чертова Н.В. // Физическая мезомеханика. 2000. Т. 3. № 5. С. 19–32.
- [3] Чертова Н.В., Чертов М.А. // Письма в ЖТФ. 2005. Т. 31. Вып. 7. С. 25–32.
- [4] Чертова Н.В. / ПМТФ. 2008. Т. 49. № 6. С. 190–197.
- [5] Андронов А.А., Витт А.А., Хайкин С.Э. Теория колебаний. М.: Наука, 1981. 568 с.